



$B \rightarrow [K^*K]_D K$ の解析

2010/10/14

東北大学

素粒子実験研究室

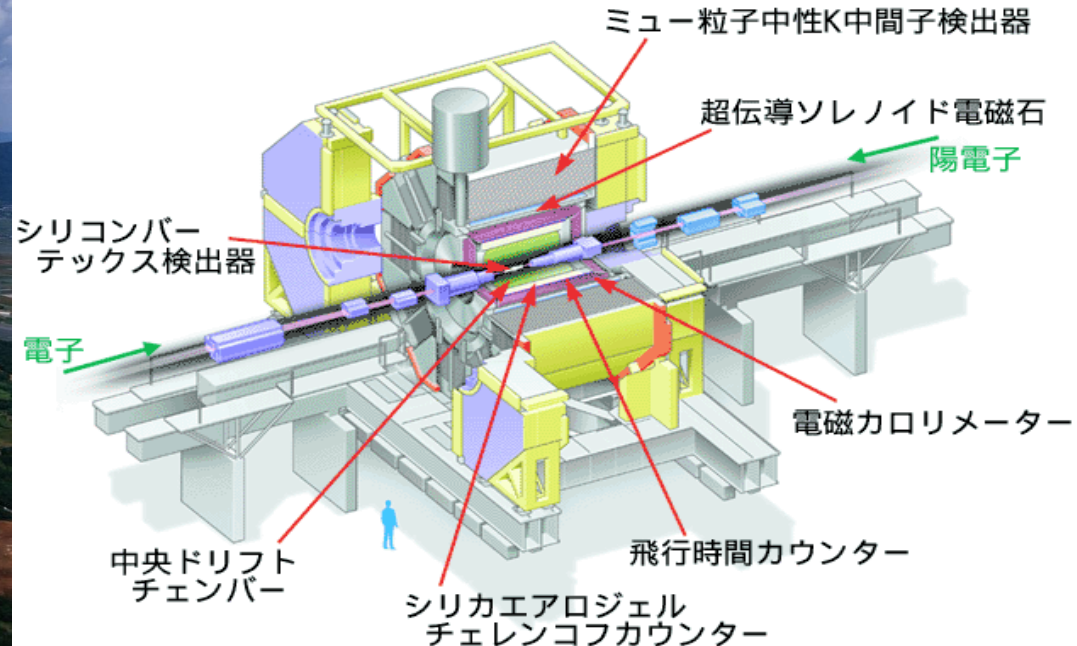
鈴木 善明



- イン트로ダクション
- ϕ_3 の測定
- $D \rightarrow K^* K$ の解析
- 今後($q\bar{q}$ suppression)
- おわりに

イントロダクション

Belle実験



- 積分ルミノシティ: 1014 fb^{-1} (Y(4S): 711 fb^{-1})
- BelleIIへのアップグレードのため2010年6月に運転停止。

CKM行列

- Charged current weak interaction Lagrangian

$$\mathcal{L}_{\text{int,qW}} = -\frac{g}{\sqrt{2}} \left[(\bar{U}_L \gamma^\mu \mathbf{V} D_L) W_\mu^+ + (\bar{D}_L \gamma^\mu \mathbf{V}^\dagger U_L) W_\mu^- \right]$$

$$U = \begin{pmatrix} u \\ c \\ t \end{pmatrix}, \quad D = \begin{pmatrix} d \\ s \\ b \end{pmatrix} \quad \text{質量固有状態}$$

CKM行列 $\mathbf{V} = \begin{pmatrix} V_{ud} & V_{us} & V_{ub} \\ V_{cd} & V_{cs} & V_{cb} \\ V_{td} & V_{ts} & V_{tb} \end{pmatrix}$

大きな複素位相を押し込める

$$= \begin{pmatrix} 1 - \frac{\lambda^2}{2} & \lambda & A\lambda^3(\rho - i\eta) \\ -\lambda & 1 - \frac{\lambda^2}{2} & A\lambda^2 \\ A\lambda^3(1 - \rho - i\eta) & -A\lambda^2 & 1 \end{pmatrix} + \mathcal{O}(\lambda^4)$$

Wolfensteinによる表記 $\lambda = \sin \theta_c \sim 0.22$
 (L. Wolfenstein, Phys. Rev. Lett. 51, 1945(1983))

ユニタリー三角形

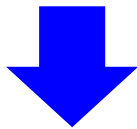
CKM行列はユニタリー行列であるから、

$$VV^\dagger = 1$$

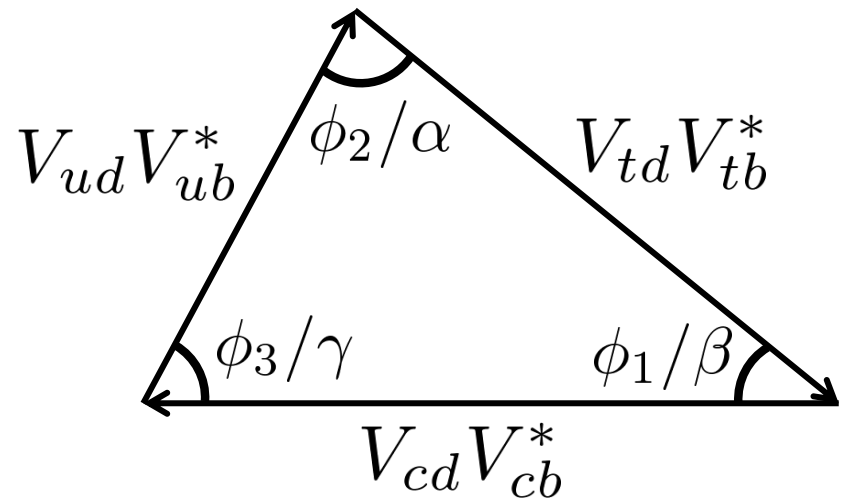


$$V_{ud}V_{ub}^* + V_{cd}V_{cb}^* + V_{td}V_{tb}^* = 0$$

- 大きな複素位相を押し込んだ要素を含む
- 各項の大きさ(辺の長さ)が同程度



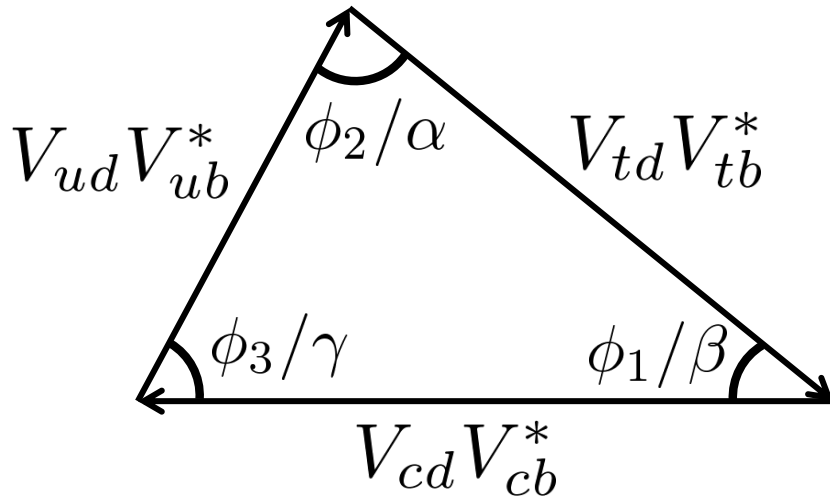
潰れていない三角形を描くことができる。
(角度測定がしやすい)



- イントロダクション
- ϕ_3 の測定
- $D \rightarrow K^* K$ の解析
- 今後($q\bar{q}$ suppression)
- おわりに

ϕ_3 の測定

CP非保存角 ϕ_3



$$\phi_1 = 21.15^\circ \begin{matrix} +0.90^\circ \\ -0.88^\circ \end{matrix}$$

$$\phi_2 = 89.0^\circ \begin{matrix} +4.4^\circ \\ -4.2^\circ \end{matrix}$$

$$\phi_3 = 71^\circ \begin{matrix} +21^\circ \\ -25^\circ \end{matrix}$$

(CKMfitter, 2010)

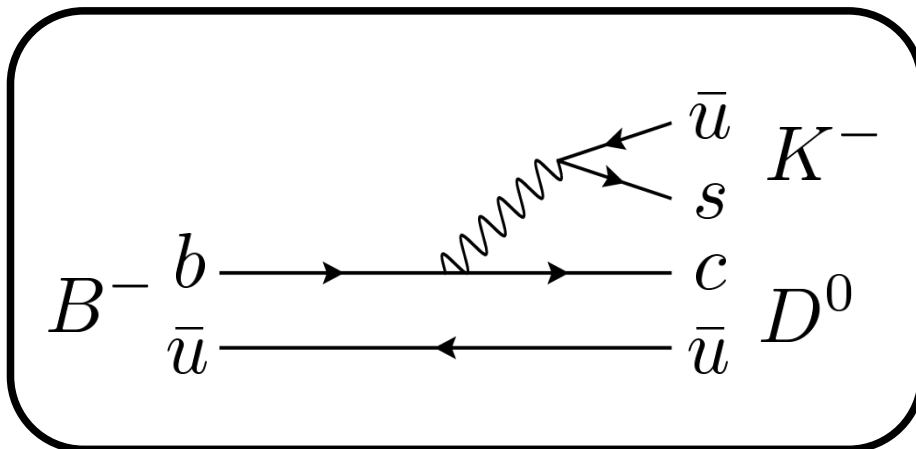
$$\phi_3 \equiv \arg \left(\frac{V_{ud}V_{ub}^*}{-V_{cd}V_{cb}^*} \right) \\ \sim \arg(\underline{V_{ub}})$$

**$b \rightarrow u$ 遷移を含む崩壊
($B \rightarrow DK$)で測定が可能。**

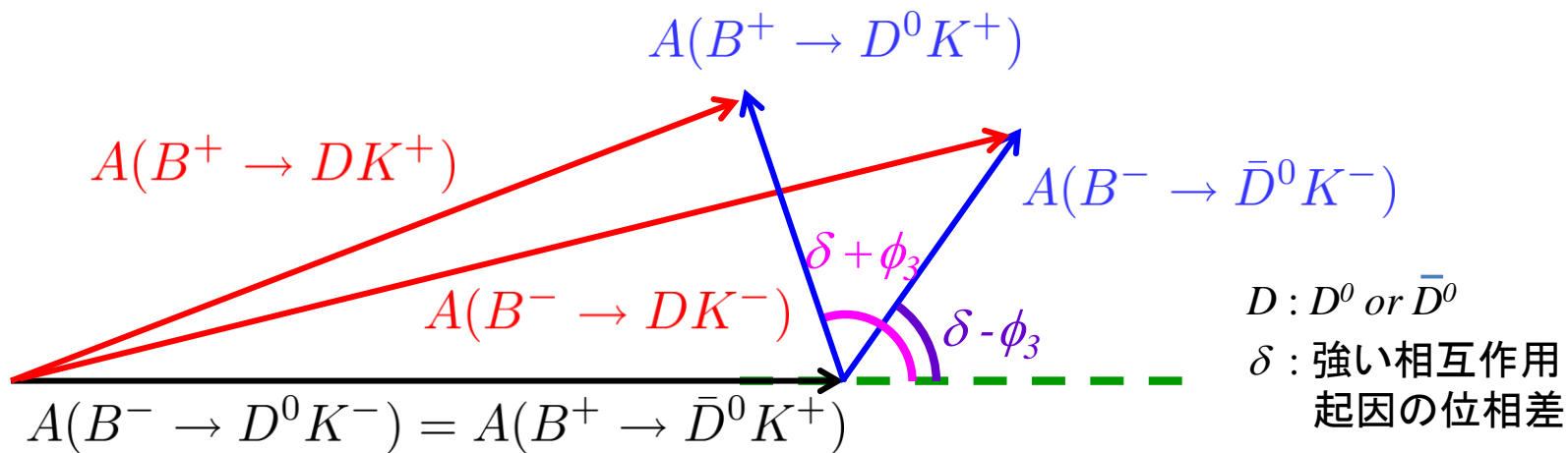
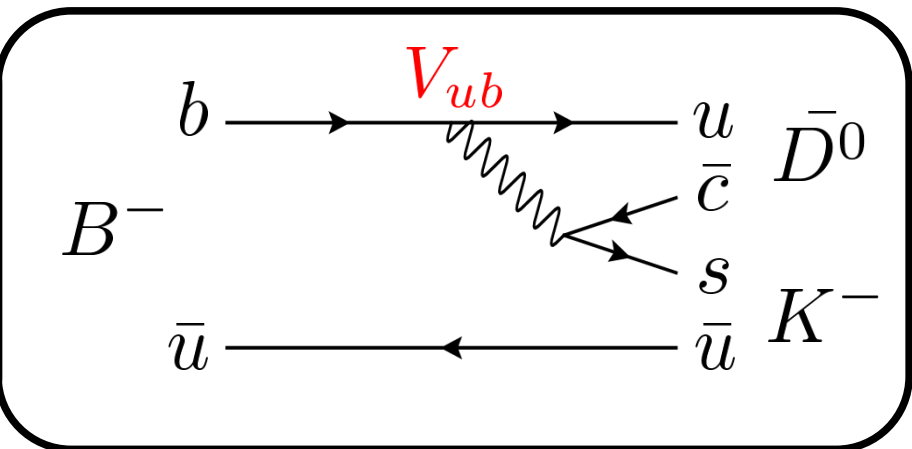
- $B \rightarrow DK$ の崩壊を用いれば tree diagramのみの寄与で測定できる。
- 精度の向上が課題。

B → DK

$$B^- \rightarrow D^0 K^-$$



$$B^- \rightarrow \bar{D}^0 K^-$$

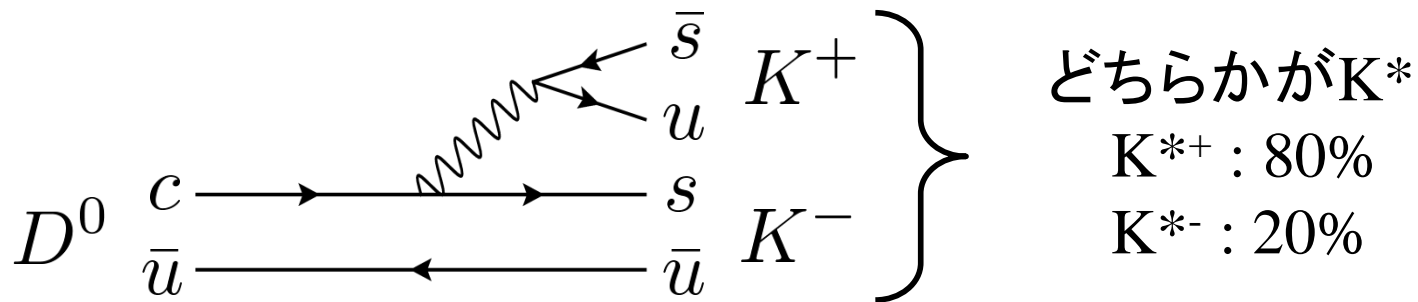


B⁻とB⁺の崩壊分岐比を測定することで δ, ϕ_3 が求まる。

- イントロダクション
- ϕ_3 の測定
- $D \rightarrow K^*K$ の解析
- 今後($q\bar{q}$ suppression)
- おわりに

$D \rightarrow K^*K$ の解析

D → K* K



➔ $D^0(\bar{D}^0) \rightarrow K^{*+} K^-$
 $D^0(\bar{D}^0) \rightarrow K^{*-} K^+$ の2つの終状態が存在する。

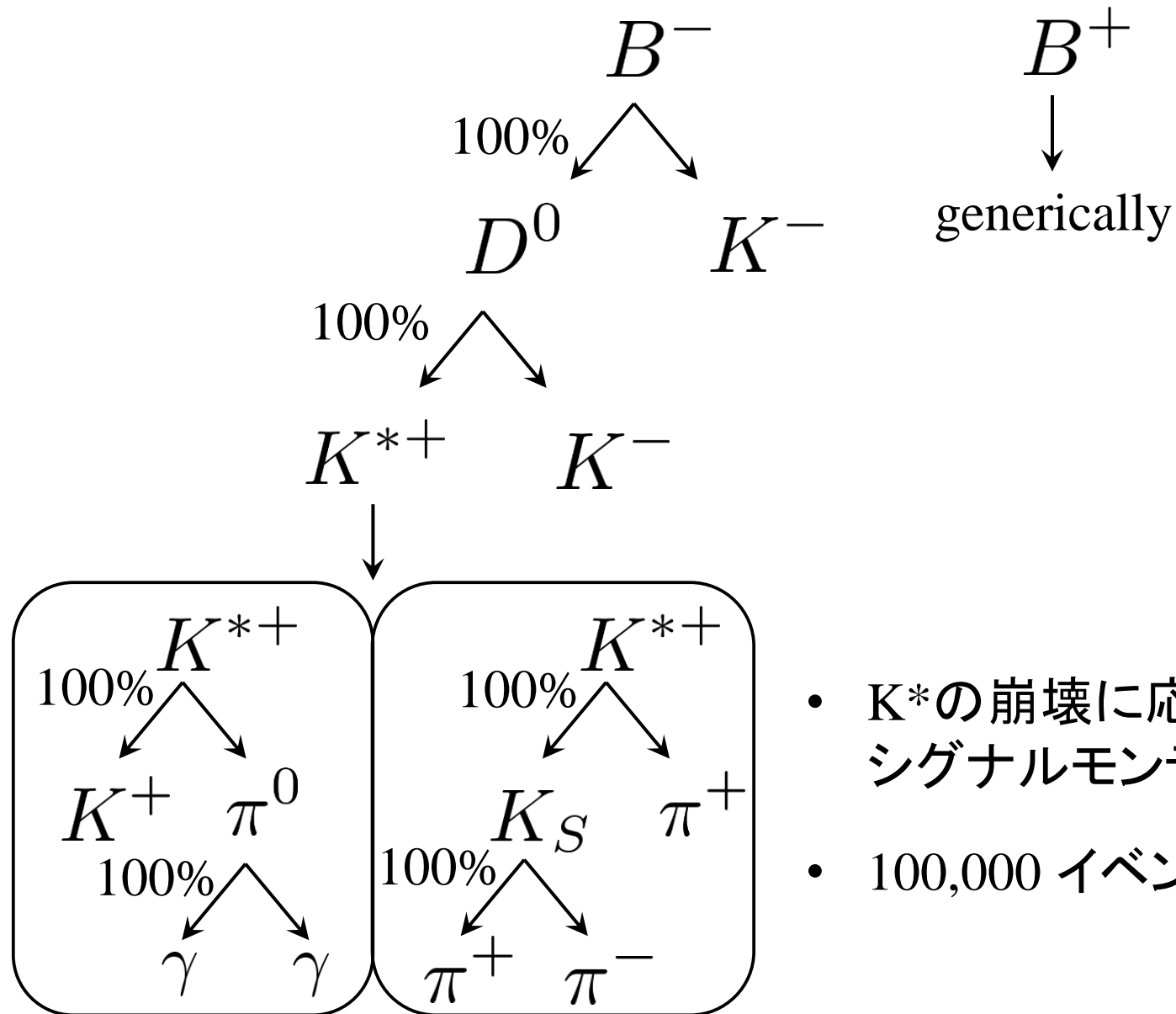
Bの電荷と合わせてモードを判別する。

$$B^{\oplus} \rightarrow [K^{*\oplus} K^{\pm}]_D K^{\pm} \quad \text{Opposite mode}$$

$$B^{\oplus} \rightarrow [K^{*\oplus} K^{\mp}]_D K^{\pm} \quad \text{Same mode}$$

また、 K^* は $K^{*\pm} \rightarrow K^{\pm} \pi^0 : 1/3$
 $K^{*\pm} \rightarrow K^0 \pi^{\pm} : 2/3$ で崩壊する。

シグナルモンテカルロの生成



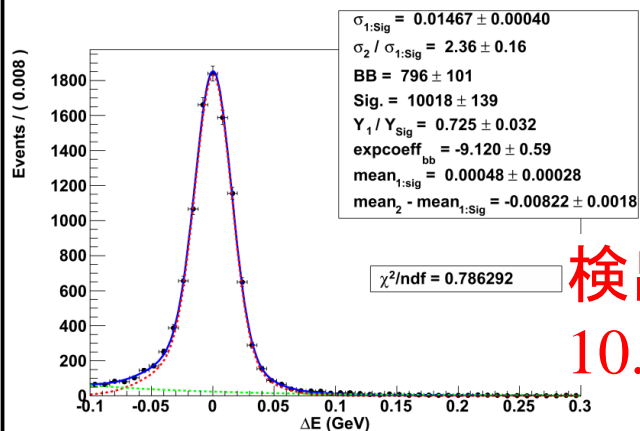
- K^* の崩壊に応じて2種類のシグナルモンテカルロを作成。
- 100,000 イベントずつ。

シグナルモンテカルロ: ΔE フィット

B \rightarrow DK

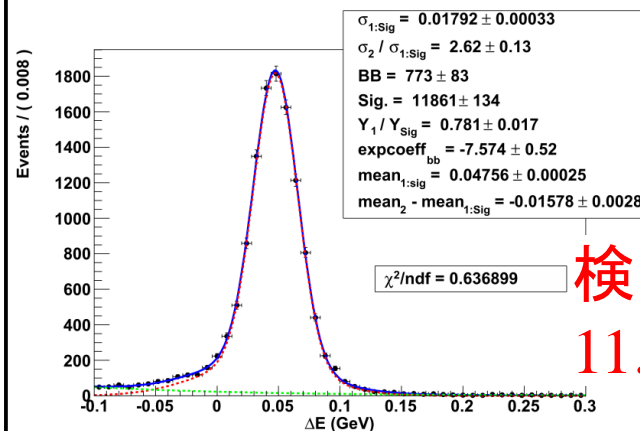
B \rightarrow D π

K* \rightarrow K π^0



検出効率
10.0 \pm 0.1%

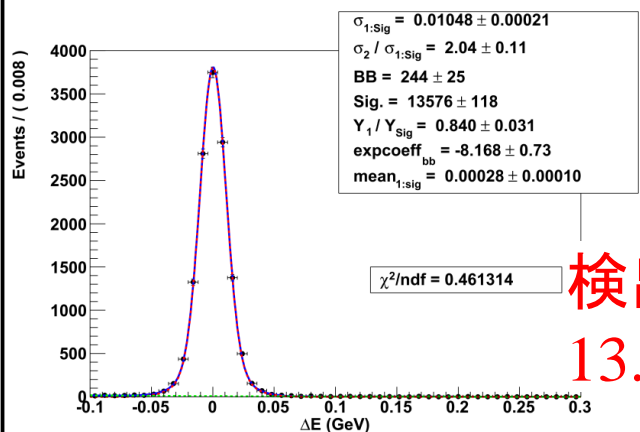
yield : 10,018 \pm 139



検出効率
11.9 \pm 0.1%

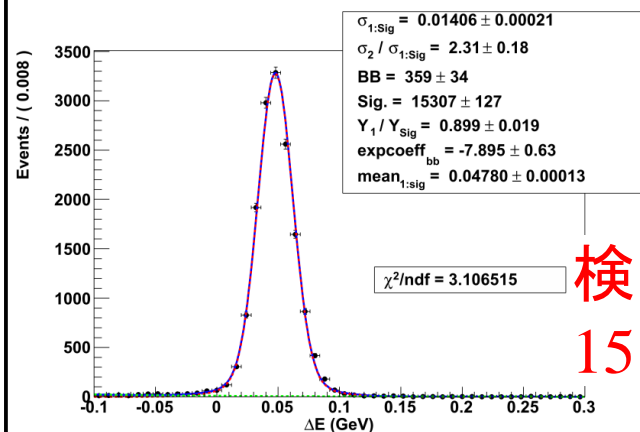
yield : 11,861 \pm 134

K* \rightarrow K $_S\pi$



検出効率
13.6 \pm 0.1%

yield : 13,576 \pm 118



検出効率
15.3 \pm 0.1%

yield : 15,307 \pm 127

期待されるイベント数

実際のデータでは、 772×10^6 個 (711 fb^{-1}) の B^+B^- 対が生成されたと見積もられる。

$$r_B = \left| \frac{A(B^- \rightarrow \bar{D}^0 K^-)}{A(B^- \rightarrow D^0 K^-)} \right| = 0.101, \quad r_D = \left| \frac{A(\bar{D}^0 \rightarrow K^{*+} K^-)}{A(D^0 \rightarrow K^{*+} K^-)} \right| = 0.589$$

として各モードの生成数を見積もると、

Opposite mode $B^\pm \rightarrow [K^{*\mp} K^\pm]_D K^\pm : 1,060 \text{ events}$

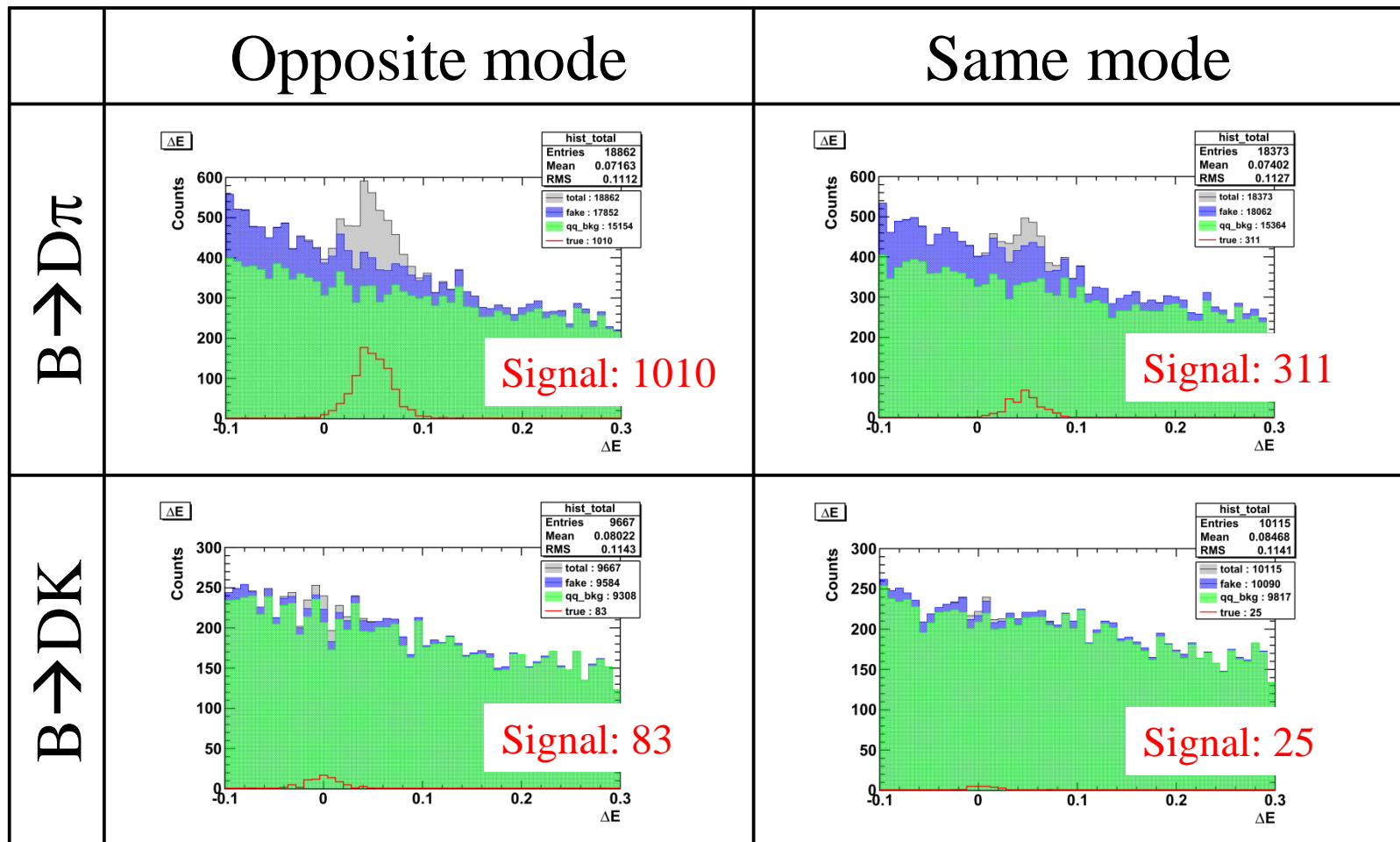
Same mode $B^\pm \rightarrow [K^{*\pm} K^\mp]_D K^\pm : 375 \text{ events}$

K^* の崩壊の分岐比と各モードの検出効率から、

	Opposite mode	Same mode	ϕ_3 による増減
$K^* \rightarrow K\pi^0$	35 events	13 events	最大 ± 4 events
$K^* \rightarrow K_S\pi$	33 events	12 events	最大 ± 4 events

$B\bar{B} + q\bar{q}$ モンテカルロ

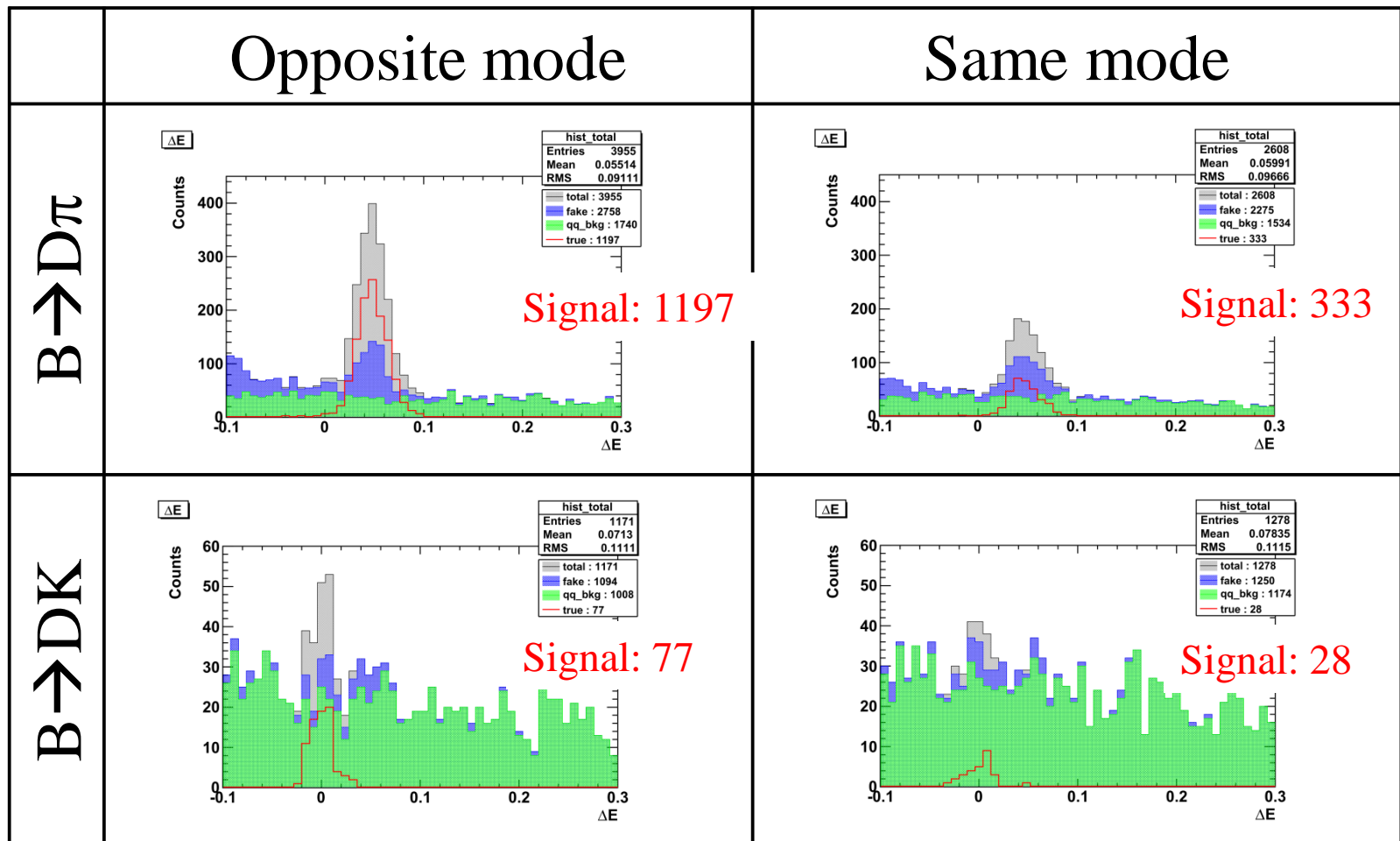
$K^* \rightarrow K\pi^0$, 実際のデータの2倍のサイズ ※ $q\bar{q}$ suppressionはしていない



灰:全体 赤:signal 青:全BG 緑:qq BG

$B\bar{B} + q\bar{q}$ モンテカルロ

$K^* \rightarrow K_S \pi$, 実際のデータの2倍のサイズ ※ $q\bar{q}$ suppressionはしていない



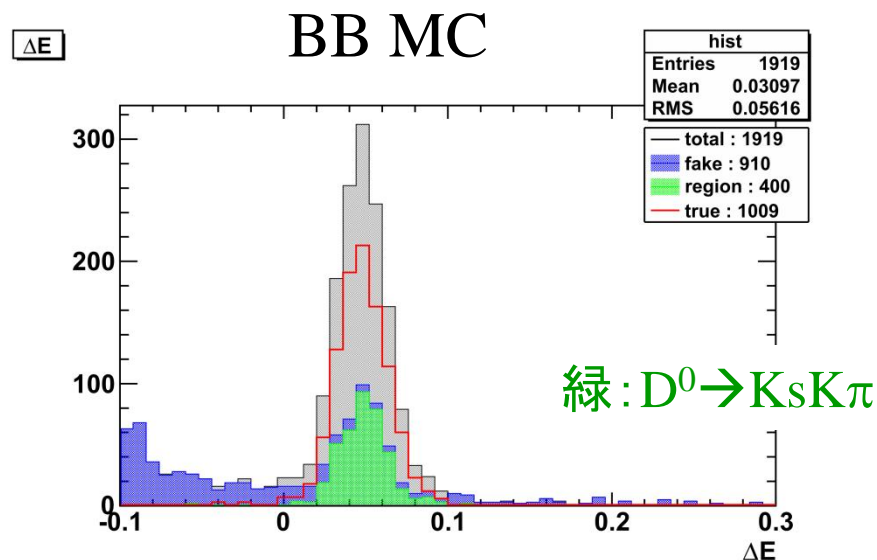
灰:全体 赤:signal 青:全BG 緑:qq BG

$K^* \rightarrow K_S \pi$ モードにおけるpeaking BG

MCであるので、どのようにイベントを生成したかを参照することができる。

→ 正体は

$D^0 \rightarrow K_S K \pi$ (nonresonant mode)



PDG(2006)によると、

$$BR(D^0 \rightarrow K_S K^- \pi^+) = (3.4 \pm 0.5) \times 10^{-3}$$

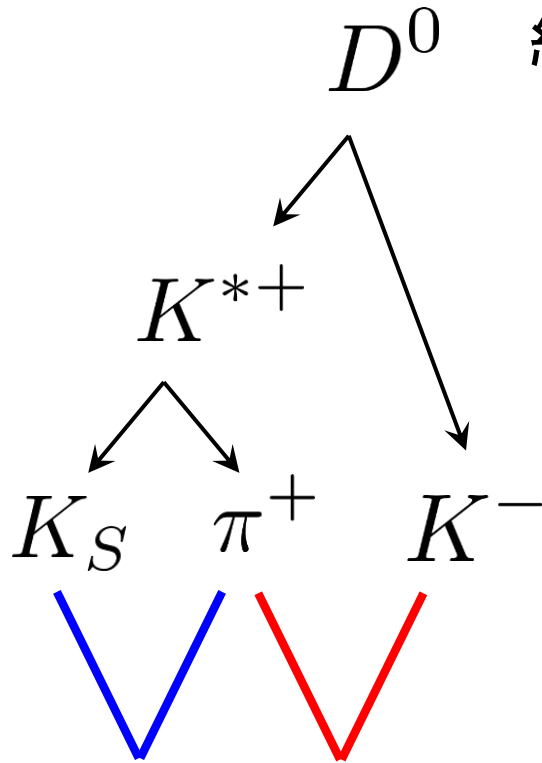
$$BR(D^0 \rightarrow [K_S \pi^+]_{K^{*+}} K^-) = (1.2 \pm 0.3) \times 10^{-3}$$

D^0 のphase spaceは非常に狭いため、大きく寄与する。

Dalitz Plot

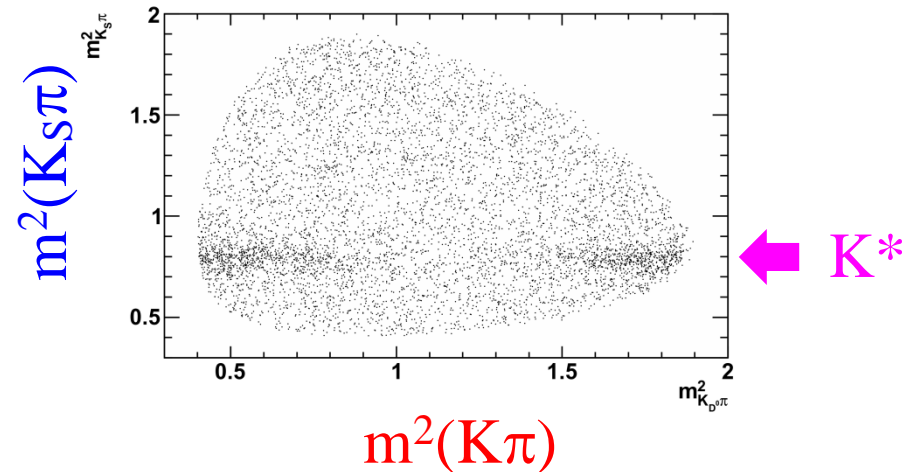
同じ終状態でも異なる共鳴状態を
経由してきている可能性がある。

$$D^0 \rightarrow ?? \rightarrow K_S K \pi$$



実際に組み合わせて
massを出してみる。

$D^0 \rightarrow K_S K \pi$ の Dalitz Plot

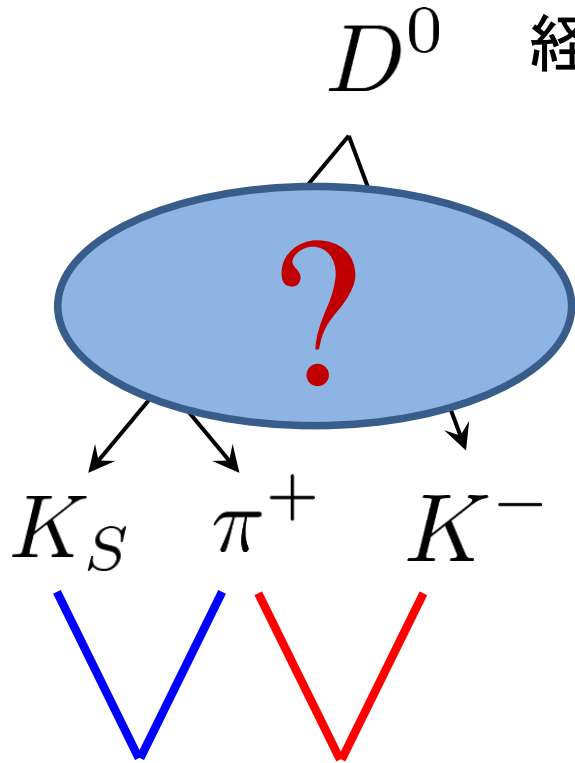


nonresonant modeは
一様に分布する

Dalitz Plot

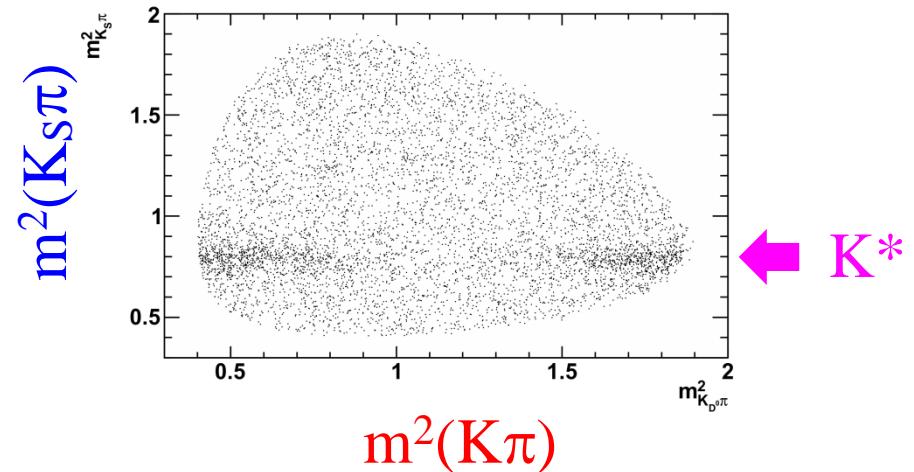
同じ終状態でも異なる共鳴状態を
経由してきている可能性がある。

$$D^0 \rightarrow ?? \rightarrow K_S K \pi$$



実際に組み合わせて
massを出してみる。

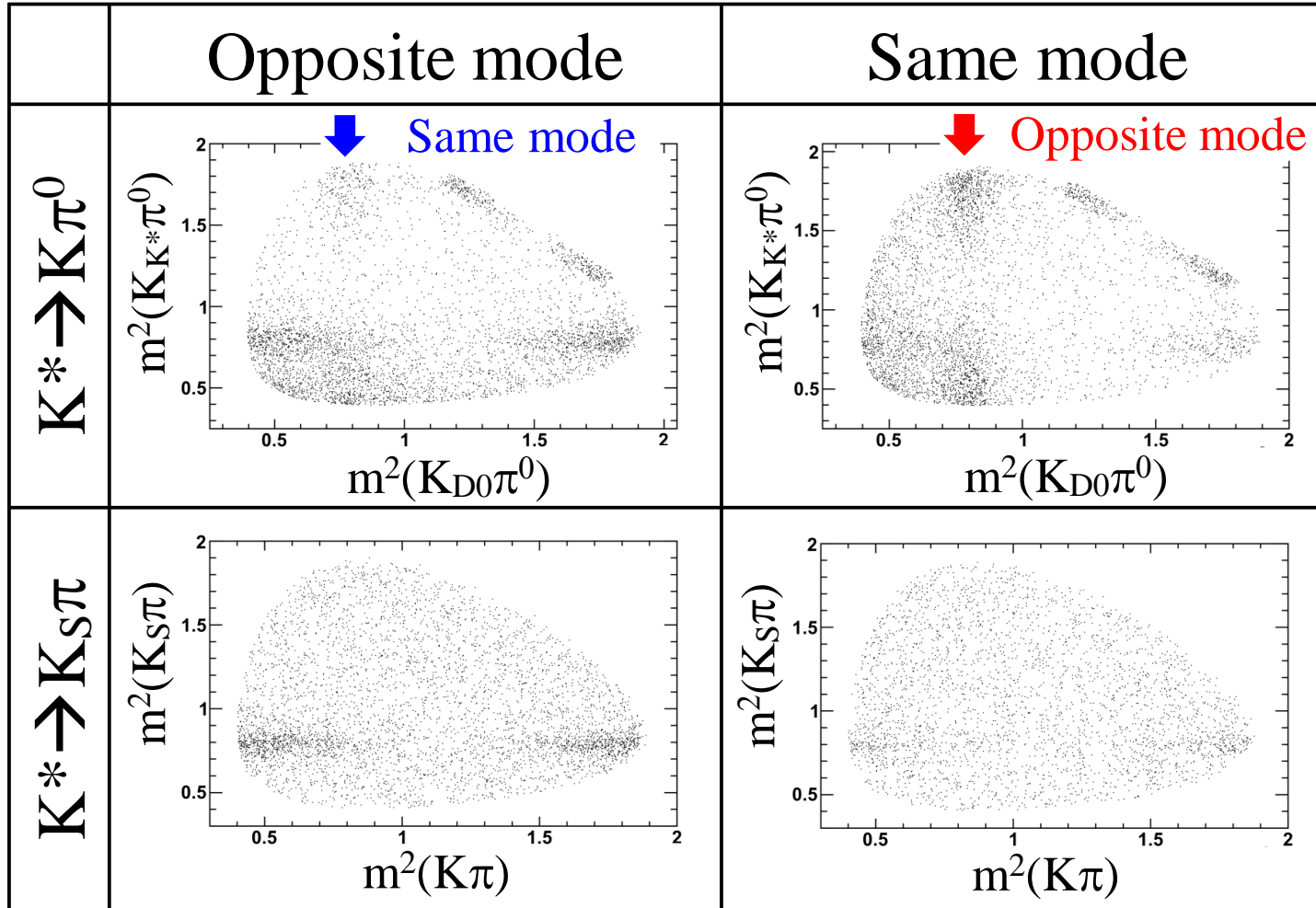
$D^0 \rightarrow K_S K \pi$ の Dalitz Plot



nonresonant modeは
一様に分布する

各モードのDalitz Plot ($B\bar{B}$)

$B \rightarrow D\pi$, MC(BB), 実際のデータの2倍のサイズ



Opposite mode,
Same modeがお
互いのバックグ
ラウンドになる

Nonresonant
mode (一様分
布)がバックグ
ラウンドになる

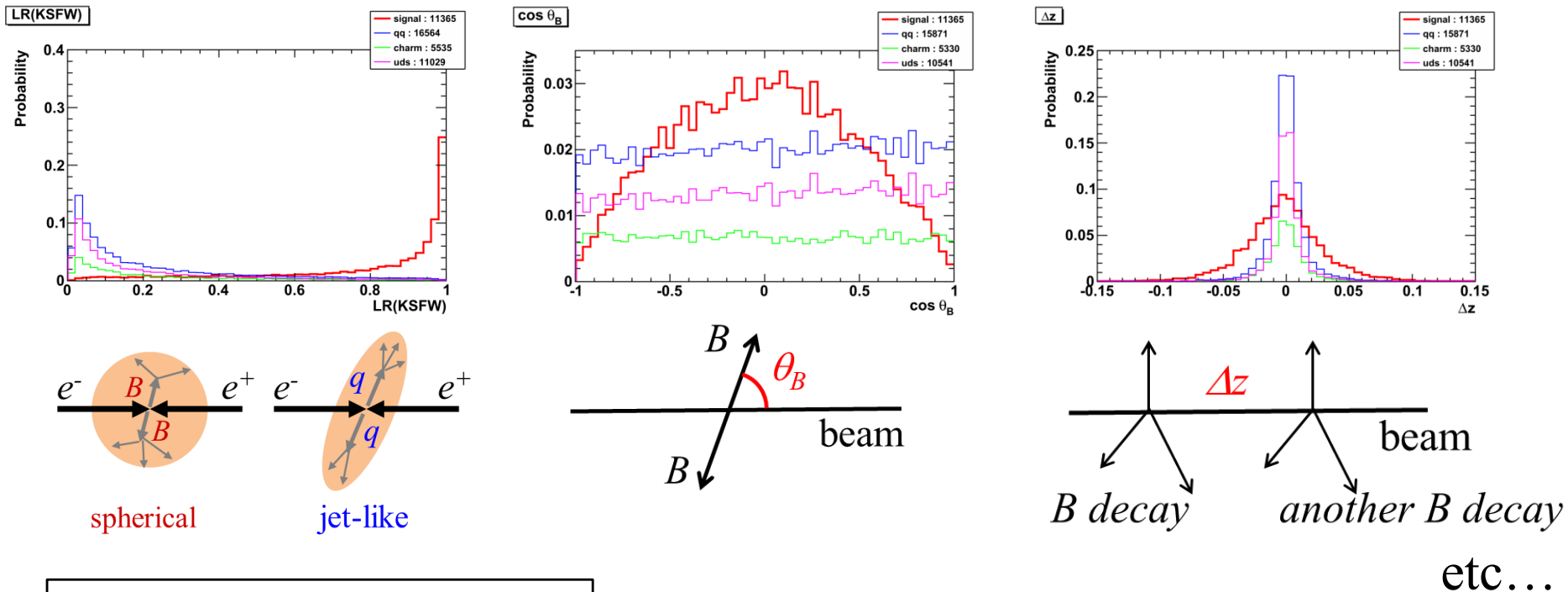
これらのバックグラウンドはシグナル領域に入ってくるため、
慎重に扱う必要がある。

- イントロダクション
- ϕ_3 の測定
- $D \rightarrow K^*K$ の解析
- 今後($q\bar{q}$ suppression)
- おわりに

今後($q\bar{q}$ suppression)

qq̄ suppression

シグナルとqq̄イベントで分布の異なるパラメータを
Neural Net (NeuroBayes)にインプットし、分離させる。



赤:シグナル
青:qq 桃:uds 緑:charm

現在、様々なパラメータを検証中

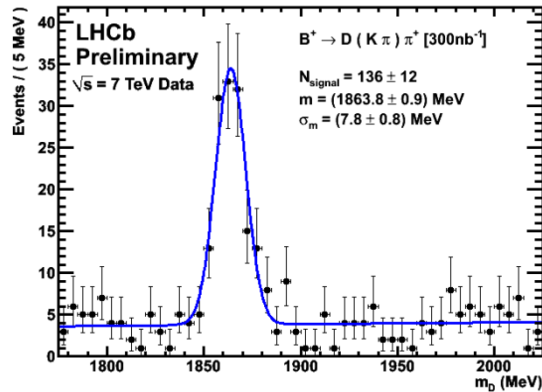
- イントロダクション
- ϕ_3 の測定
- $D \rightarrow K^* K$ の解析
- 今後($q\bar{q}$ suppression)
- おわりに

おわりに

LHCbとの比較

LHCb (M. Williams, CKM2010)

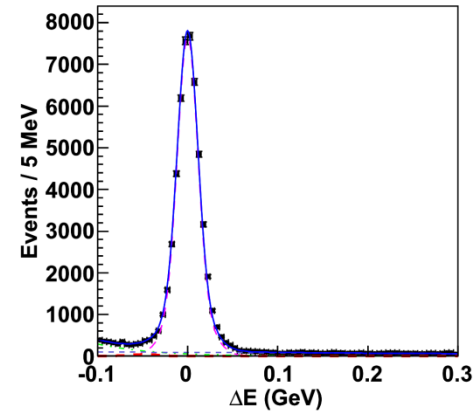
$$B^\pm \rightarrow D\pi^\pm, D \rightarrow K^\pm\pi^\mp$$



136 ± 12 events, 300 nb^{-1}

Belle (Y. Horii, CKM2010)

$$B^\pm \rightarrow D\pi^\pm, D \rightarrow K^\pm\pi^\mp$$



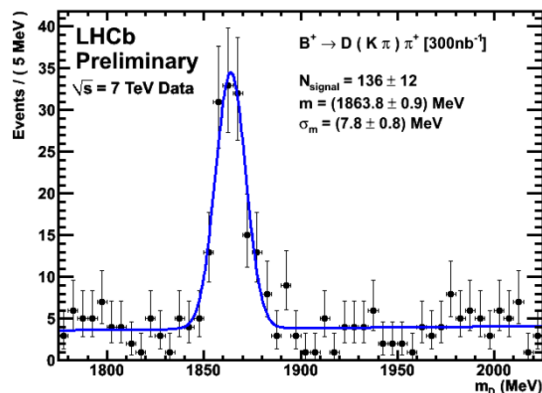
Y. Horii

$49,164 \pm 245$ events, 711 fb^{-1}

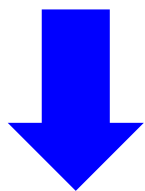
LHCbとの比較

LHCb (M. Williams, CKM2010)

$$B^\pm \rightarrow D\pi^\pm, D \rightarrow K^\pm\pi^\mp$$



136 ± 12 events, 300 nb^{-1}



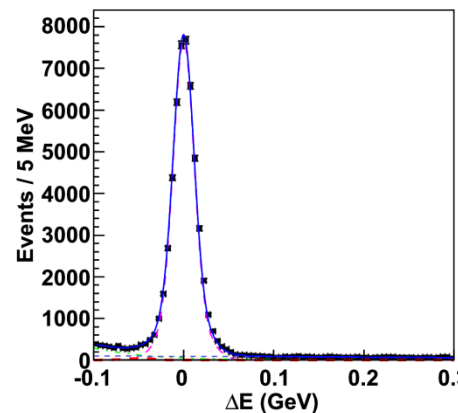
1 fb⁻¹ためると・・・
(来年末予定)

~450,000 events

Belleの9倍!!

Belle (Y. Horii, CKM2010)

$$B^\pm \rightarrow D\pi^\pm, D \rightarrow K^\pm\pi^\mp$$



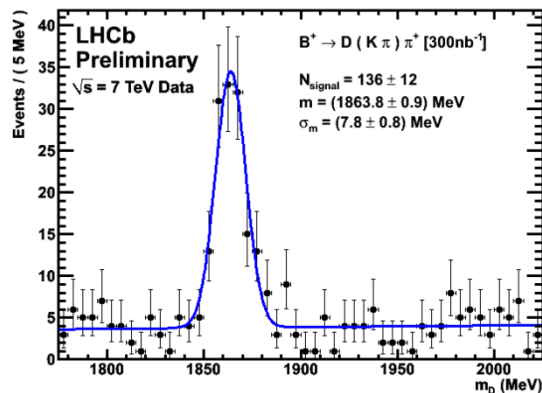
マジで!?
Y. Horii

$49,164 \pm 245$ events, 711 fb^{-1}

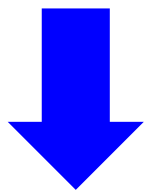
LHCbとの比較

LHCb (M. Williams, CKM2010)

$$B^\pm \rightarrow D\pi^\pm, D \rightarrow K^\pm\pi^\mp$$



136 ± 12 events, 300 nb^{-1}



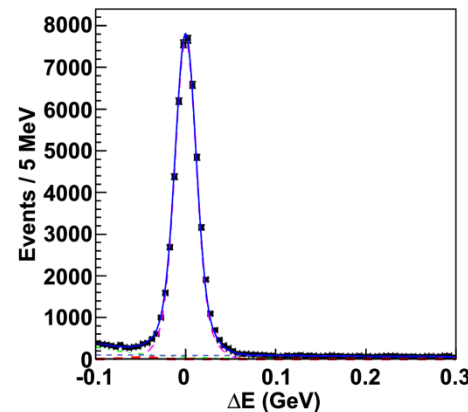
1 fb^{-1} ためると...
 (来年末予定)

~450,000 events

Belleの9倍!!

Belle (Y. Horii, CKM2010)

$$B^\pm \rightarrow D\pi^\pm, D \rightarrow K^\pm\pi^\mp$$



Y. Horii

$49,164 \pm 245$ events, 711 nb^{-1}

でもたぶん大丈夫(?)

LHCbでは...

- BGが多く、 π^0 の再構成が難しい。
- エネルギーが高く K_S が検出器内で崩壊しない可能性がある。

まとめ

- ユニタリー三角形の角の一つである ϕ_3 はtree diagramで測定でき、その測定は新物理探索において重要な役割を果たす。
- しかし、 ϕ_3 は3つの角の中で最も精度が悪く、精密測定が求められている。
- ϕ_3 測定のための $B \rightarrow [K^*K]_D K$ の解析に向けてモンテカルロによるシミュレーション等を行い、実現の可能性を示したとともにPeaking backgroundなどの問題も明らかにした。
- 今後は $q\bar{q}$ suppressionを行い、よりクリアな信号が得られるようにしてゆく。

ご清聴、ありがとうございました。

Back Up

理論

B^+ , B^- の opposite mode, same mode の分岐比

$$A[B^- \rightarrow K^-(K^{*+}K^-)_D] = |A_B A_D| \left[1 + r_B r_D e^{i(\delta_B + \delta_D - \phi_3)} \right] \quad \text{Opposite mode}$$

$$A[B^- \rightarrow K^-(K^{*-}K^+)_D] = |A_B A_D| e^{i\delta_D} \left[r_D + r_B e^{i(\delta_B - \delta_D - \phi_3)} \right] \quad \text{Same mode}$$

$$A[B^+ \rightarrow K^+(K^{*-}K^+)_D] = |A_B A_D| \left[1 + r_B r_D e^{i(\delta_B + \delta_D + \phi_3)} \right] \quad \text{Opposite mode}$$

$$A[B^+ \rightarrow K^+(K^{*+}K^-)_D] = |A_B A_D| e^{i\delta_D} \left[r_D + r_B e^{i(\delta_B - \delta_D + \phi_3)} \right] \quad \text{Same mode}$$

$$r_B = \left| \frac{\bar{A}_B}{A_B} \right| = \left| \frac{A(B^- \rightarrow \bar{D}^0 K^-)}{A(B^- \rightarrow D^0 K^-)} \right|, \quad r_D = \left| \frac{\bar{A}_D}{A_D} \right| = \left| \frac{A(\bar{D}^0 \rightarrow K^{*+} K^-)}{A(D^0 \rightarrow K^{*+} K^-)} \right|$$

r_D は他の測定で精度よく測定されている (既知数) とする。

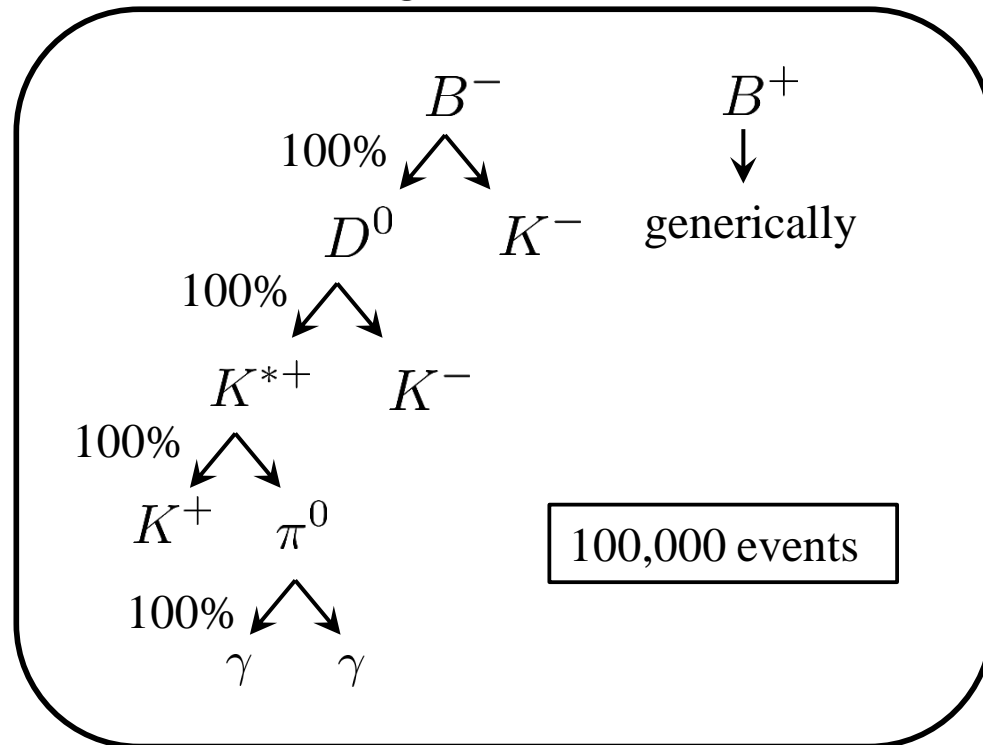
→ 未知数は δ_D , δ_B , r_B , ϕ_3 の4つ。分岐比の4式を連立すれば解ける。

$$\cos \phi_3 = \frac{(R_1 + R_3 - 2)^2 - (R_2 + R_4 - 2r_D^2)^2}{4[(R_1 - 1)(R_3 - 1) - (R_2 - r_D^2)(R_4 - r_D^2)]}$$

$$R_1 = \left[\frac{A[B^- \rightarrow K^-(K^{*+}K^-)_D]}{A_B A_D} \right]^2, \quad R_2 = \dots$$

Reconstruction of $K^{*+} \rightarrow K^+ \pi^0$ mode

Signal MC

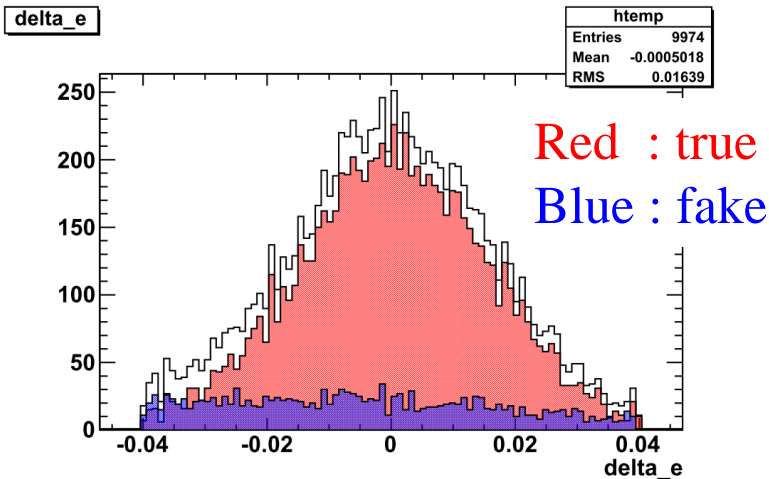


Selection criteria

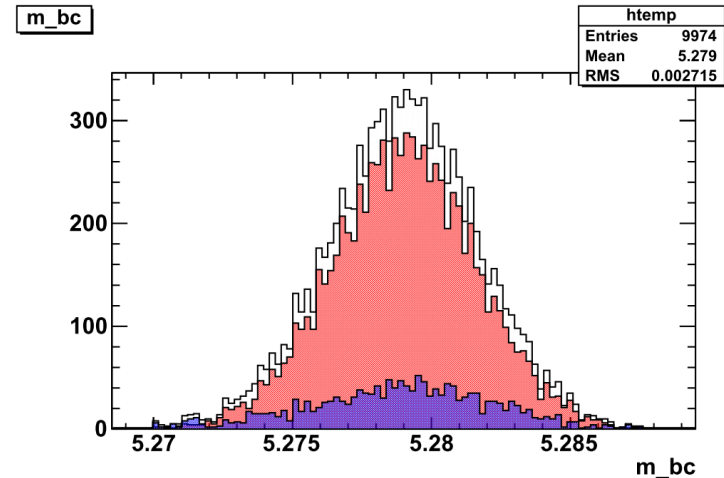
Impact parameter	$ dr < 5\text{mm} , dz < 5\text{cm}$
π^0 reconstruct	$E_\gamma > 30\text{ MeV} , \chi_{\text{mass}}^2 < 40$
M_{bc} & ΔE	$5.27 < M_{bc} < 5.29 , \Delta E < 0.04$
PID	for all charged K : $\text{PID}(\text{K}) > 0.8$
mass	$ M(\text{K}^+\pi^0) - M(\text{K}^{*+}) < 0.075$ $ M(\text{K}^{*+}\text{K}^-) - M(\text{D}^0) < 0.0159$
helicity angle	for K^* : $ \cos\theta > 0.4$
Best candidate selection	Use χ^2 of M_{bc} & $M(\text{D}^0)$

Reconstructed parameter

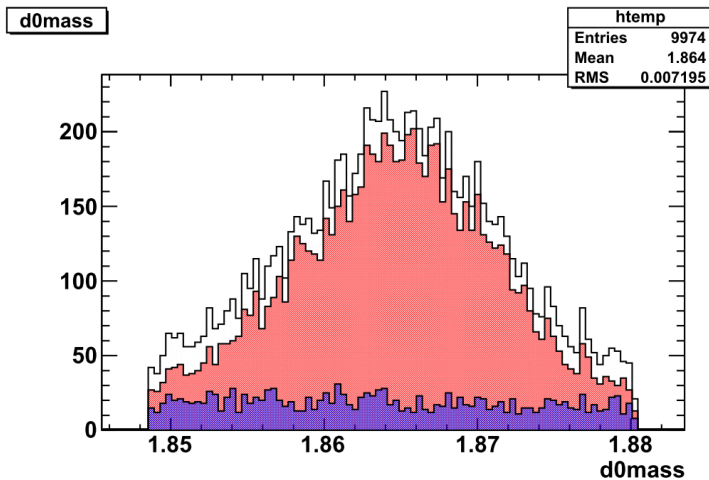
ΔE



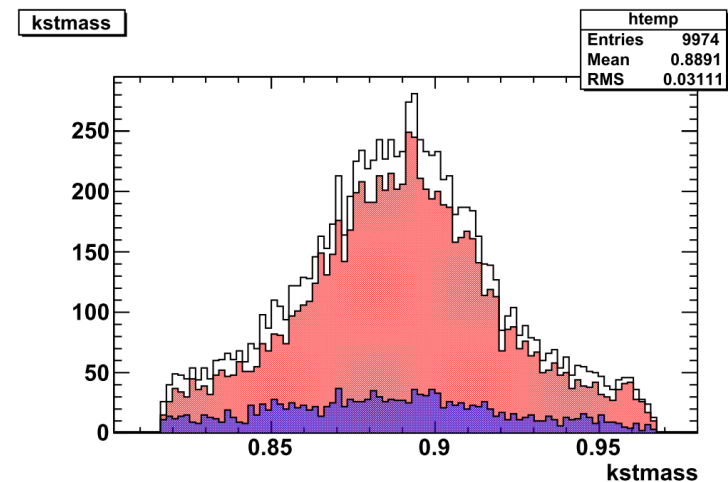
M_{bc} (beam constrained mass)



D^0 mass



K^* mass

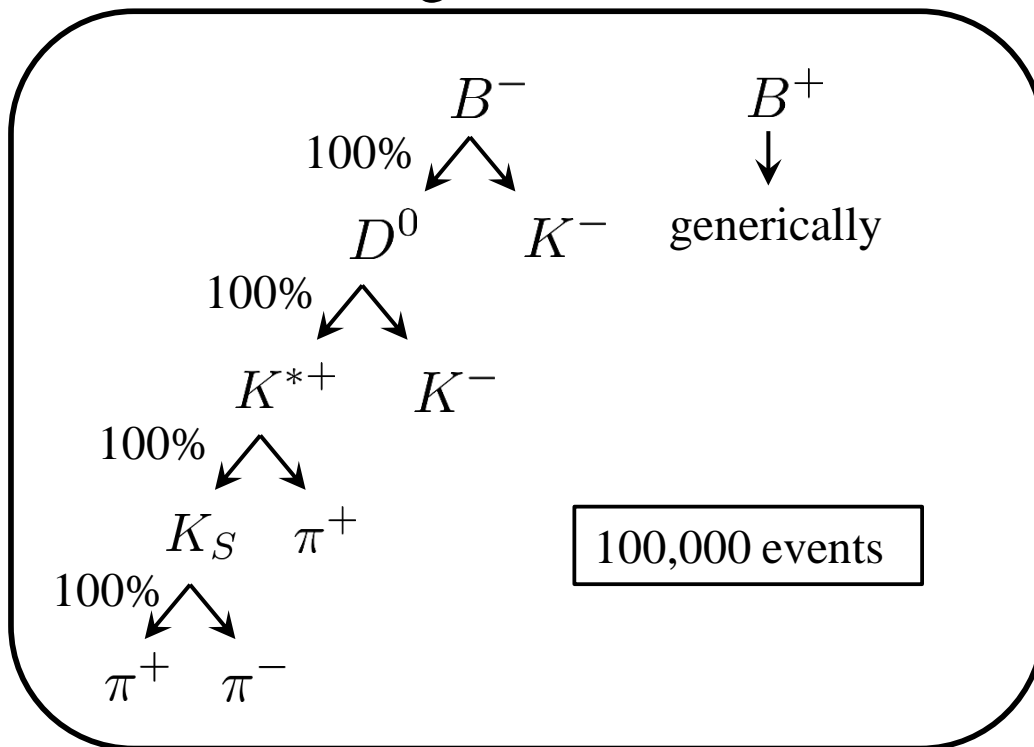


9,974 events are reconstructed.

Detection efficiency is 9.97 ± 0.10 % .

Reconstruction of $K^{*+} \rightarrow K_S \pi^+$ mode

Signal MC

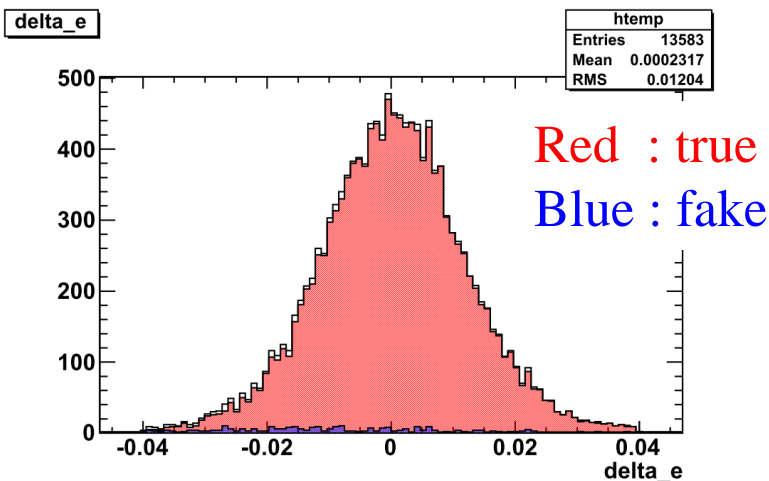


Selection criteria

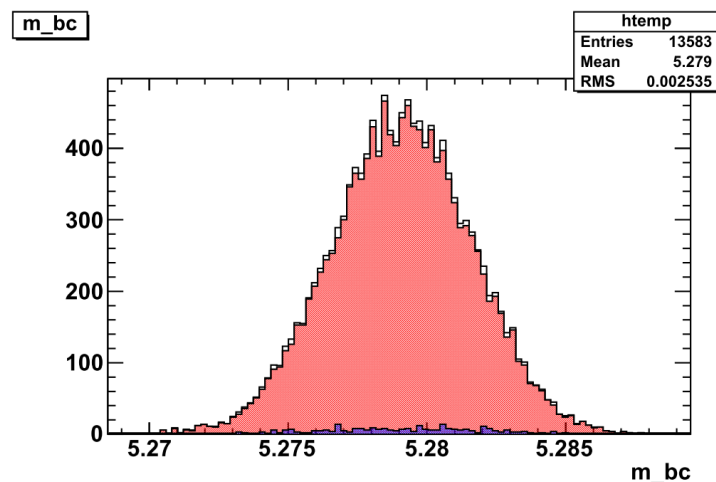
Impact parameter	$ dr < 5\text{mm} , dz < 5\text{cm}$
M_{bc} & ΔE	$5.27 < M_{bc} < 5.29 , \Delta E < 0.04$
PID	for all charged K : $\text{PID}(K) > 0.8$ for all charged π : $\text{PID}(\pi) < 0.2$
mass	$ M(\pi^+\pi^-) - M(K_S) < 0.00208$ $ M(K_S\pi^+) - M(K^{*+}) < 0.075$ $ M(K^{*+}K^-) - M(D^0) < 0.0159$
helicity angle	for K^* : $ \cos\theta > 0.4$
Best candidate selection	Use χ^2 of M_{bc} & $M(D^0)$

Reconstructed parameter

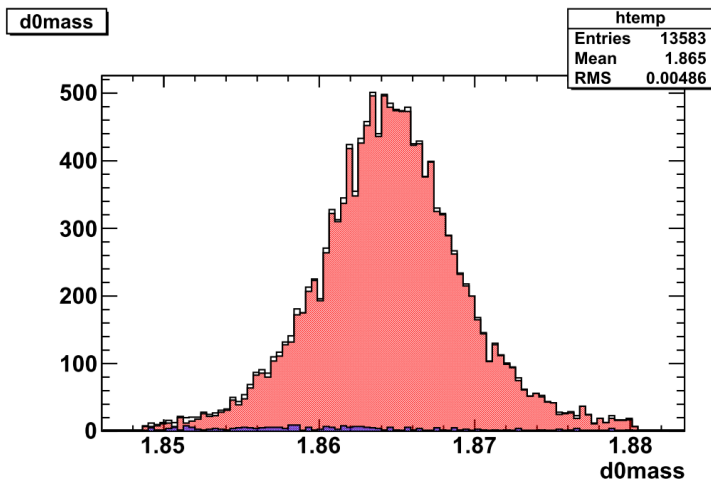
ΔE



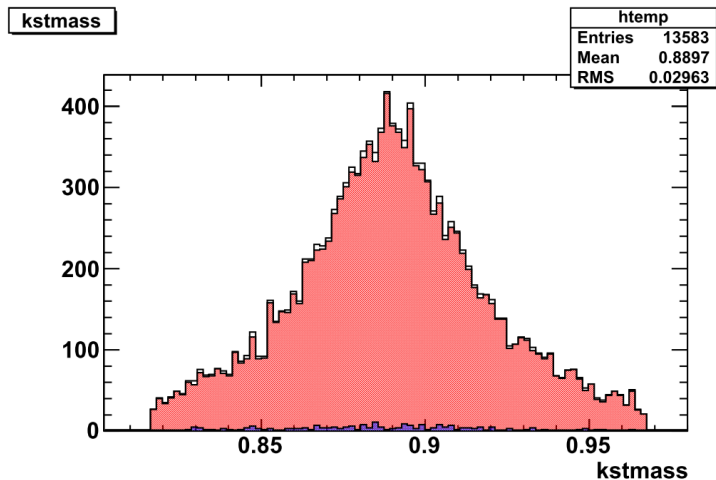
M_{bc} (beam constrained mass)



D^0 mass



K^* mass



13,583 events are reconstructed.
Detection efficiency is 13.6 ± 0.1 % .

Sum & Asymmetry

$$N_{\ominus\oplus} \equiv N[B^{\ominus} \rightarrow (K^{*\oplus} K^-)_D K^-]$$

$$N_{\text{opp}} = N_{-+} + N_{+-}$$

$$A_{\text{opp}} = \frac{N_{-+} - N_{+-}}{N_{-+} + N_{+-}}$$

Opposite mode

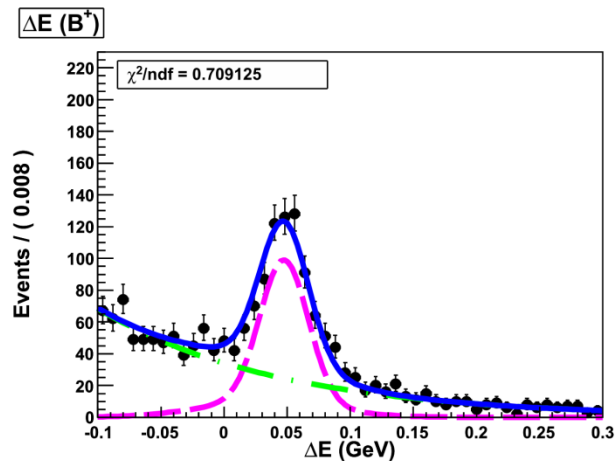
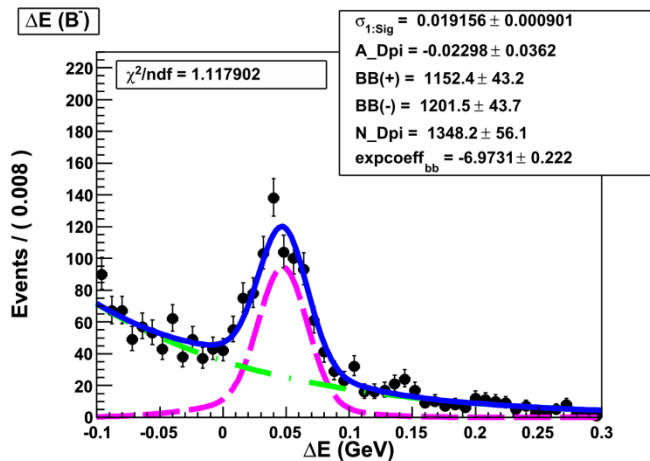
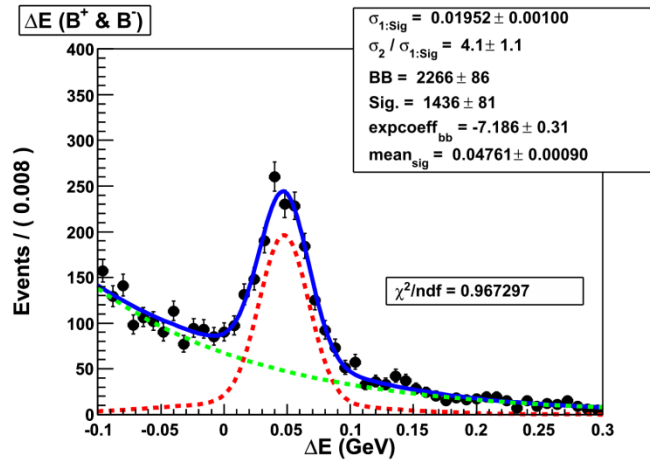
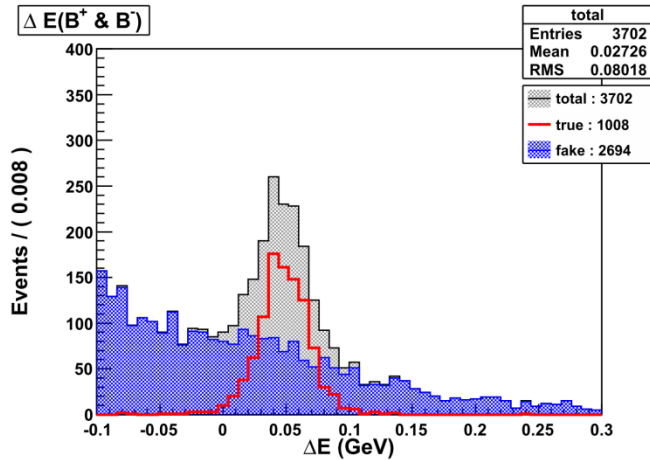
$$N_{\text{same}} = N_{--} + N_{++}$$

$$A_{\text{same}} = \frac{N_{--} - N_{++}}{N_{--} + N_{++}}$$

Same mode

同時fit

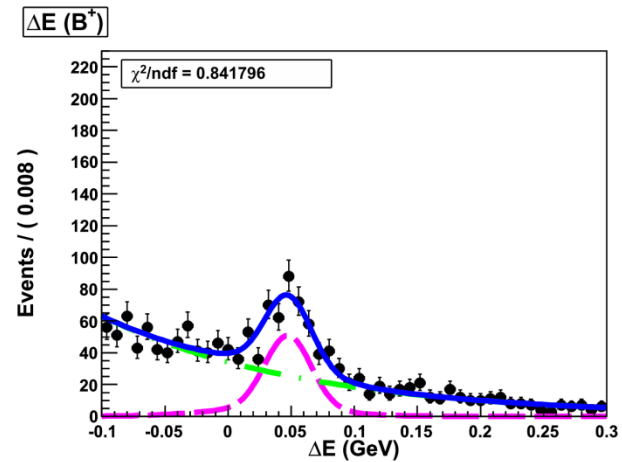
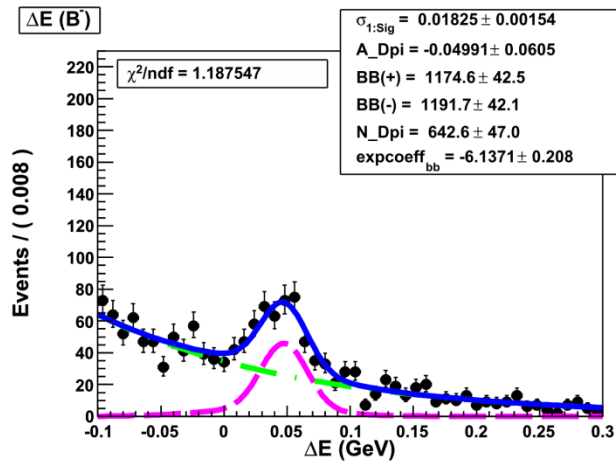
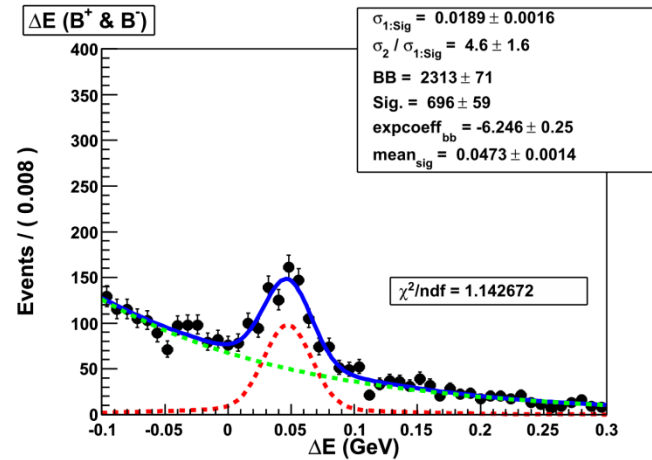
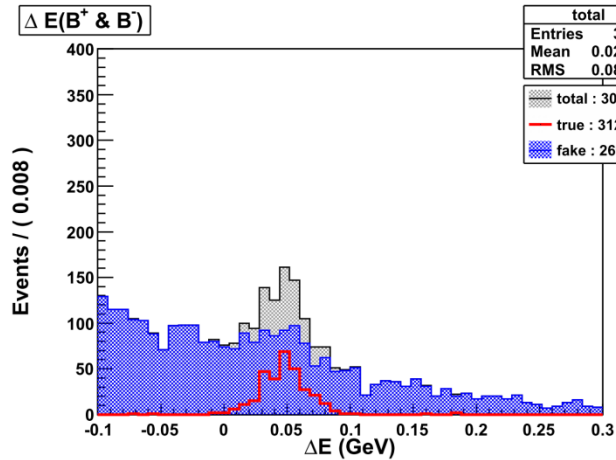
$B \rightarrow D\pi, K^* \rightarrow K\pi^0$ mode N_{opp}, A_{opp}



$$N_{opp} = 1348.2 \pm 56.1, \quad A_{opp} = -0.023 \pm 0.036$$

同時fit

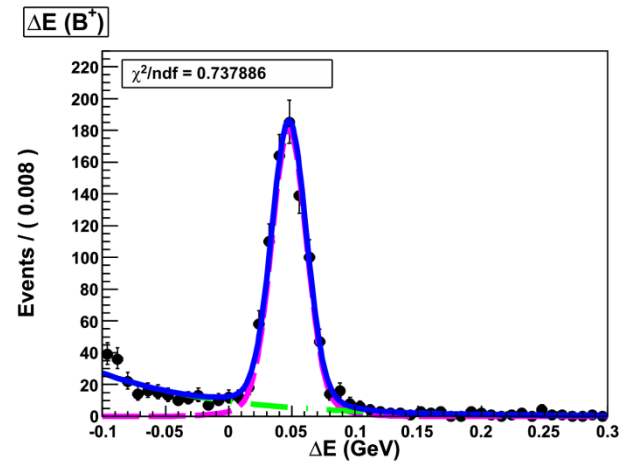
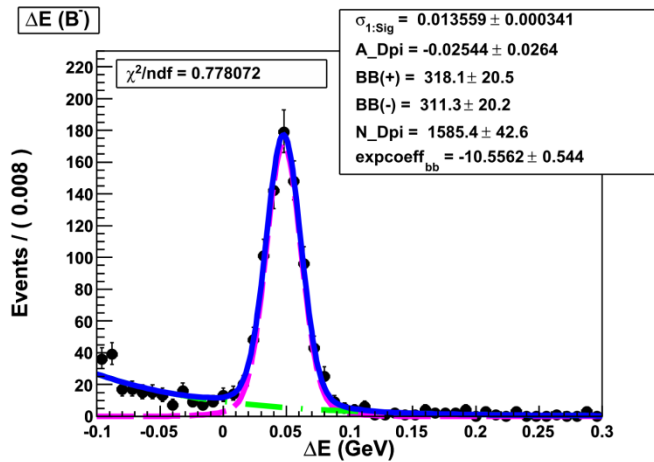
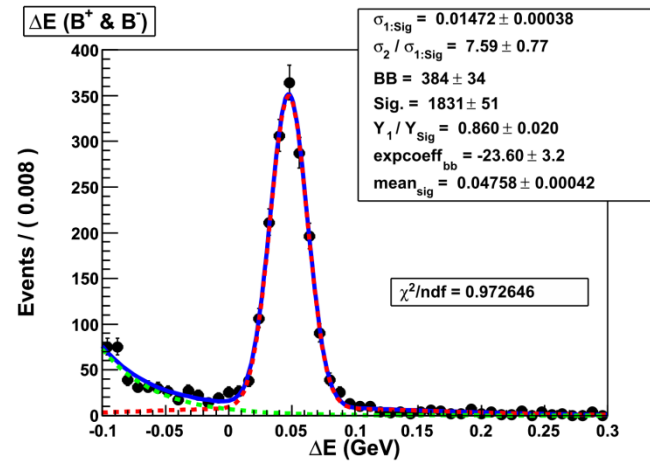
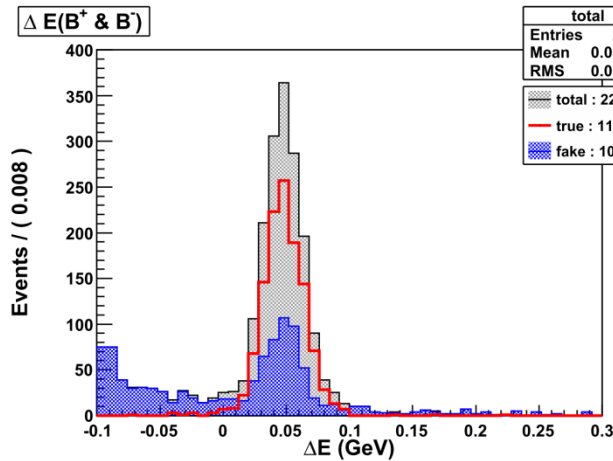
$B \rightarrow D\pi, K^* \rightarrow K\pi^0$ mode $N_{\text{same}}, A_{\text{same}}$



$N_{\text{same}} = 642.6 \pm 47.0, \quad A_{\text{same}} = -0.050 \pm 0.060$

同時fit

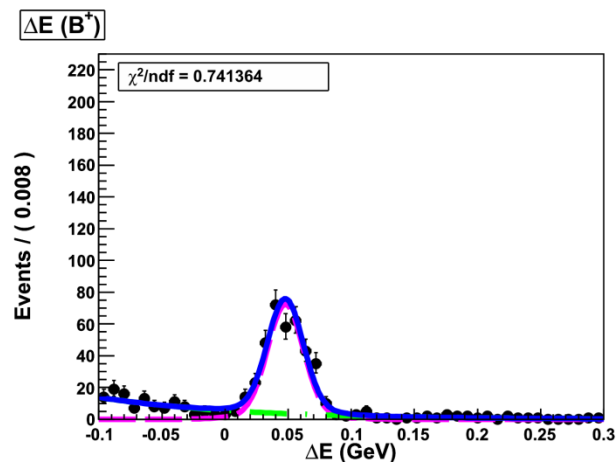
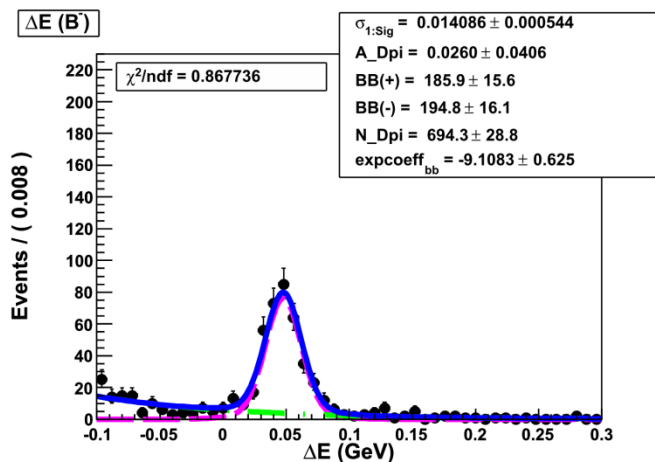
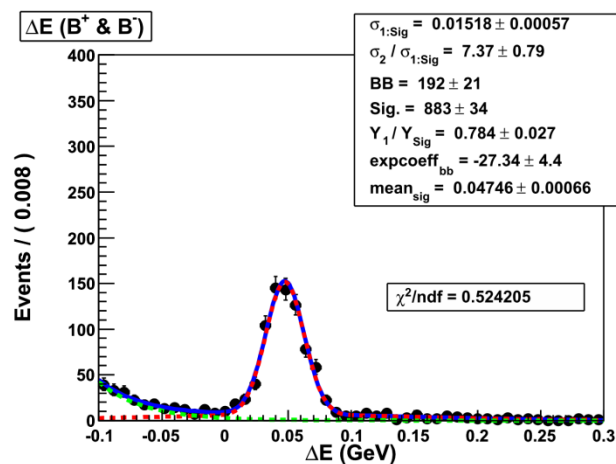
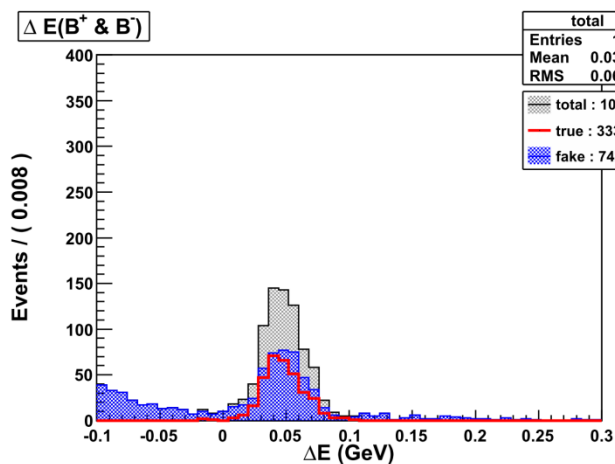
$B \rightarrow D\pi, K^* \rightarrow K_S\pi$ mode N_{opp}, A_{opp}



$$N_{opp} = 1585.4 \pm 42.6, \quad A_{opp} = -0.025 \pm 0.026$$

同時fit

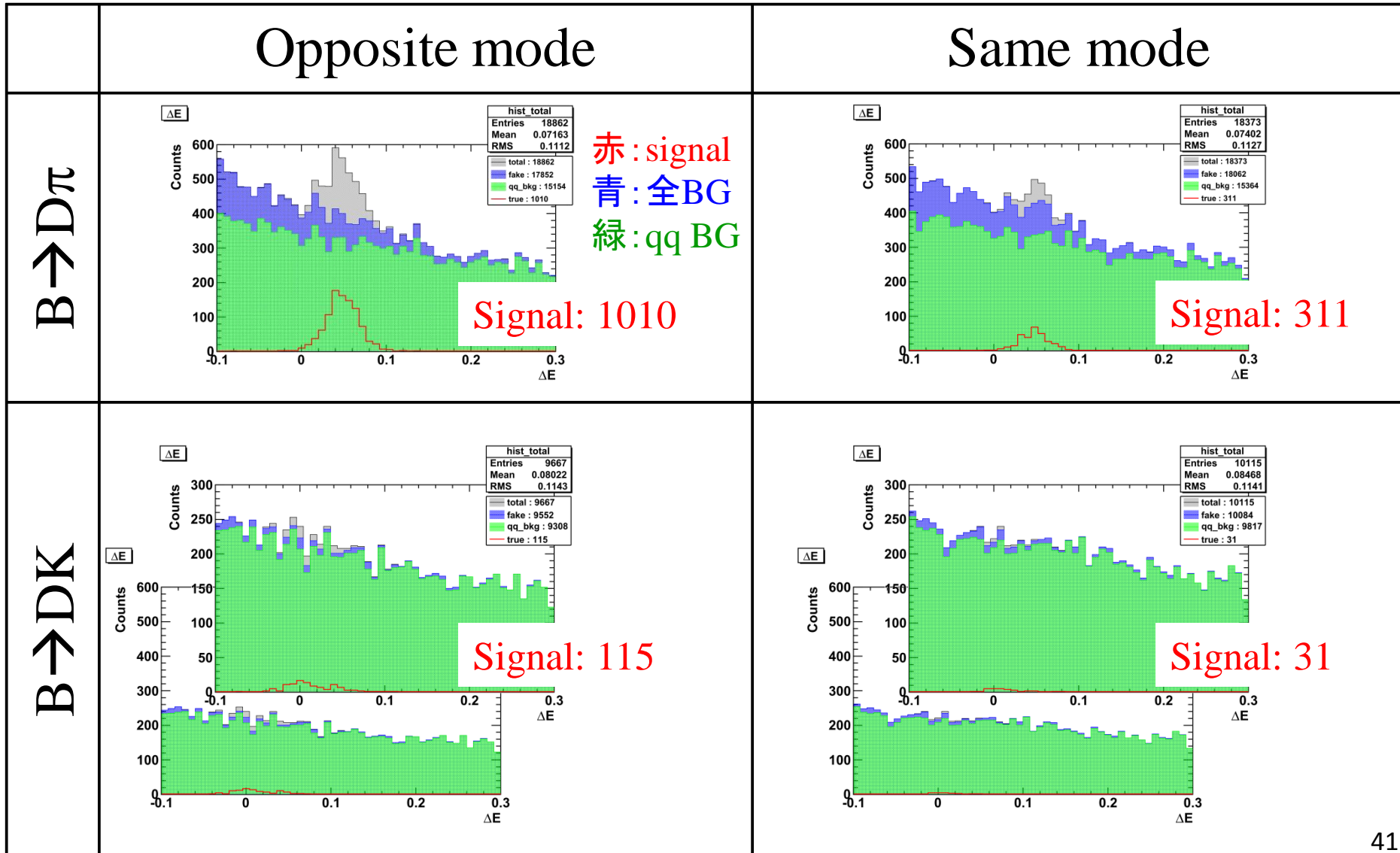
$B \rightarrow D\pi$, $K^* \rightarrow K_S\pi$ mode N_{same} , A_{same}



$$N_{\text{same}} = 694.3 \pm 28.8, \quad A_{\text{same}} = 0.026 \pm 0.041$$

$B\bar{B} + q\bar{q}$ モンテカルロ

$K^* \rightarrow K\pi^0$, 実際のデータの2倍のサイズ ※ $q\bar{q}$ suppressionはしていない



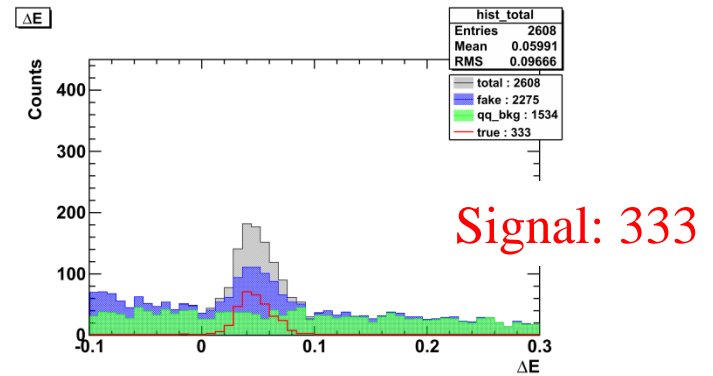
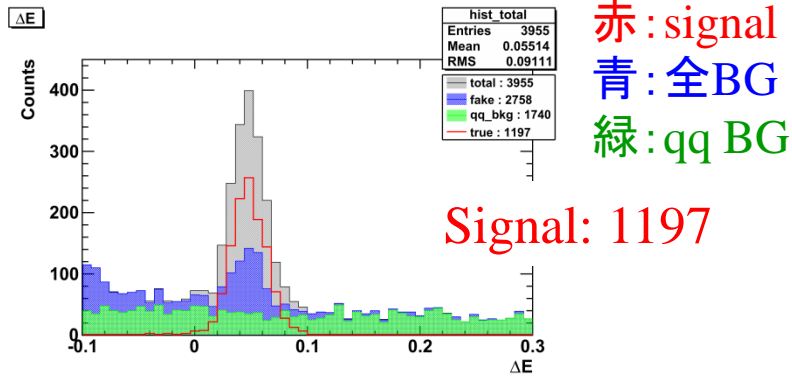
$B\bar{B} + q\bar{q}$ モンテカルロ

$K^* \rightarrow K_S \pi$, 実際のデータの2倍のサイズ ※ $q\bar{q}$ suppressionはしていない

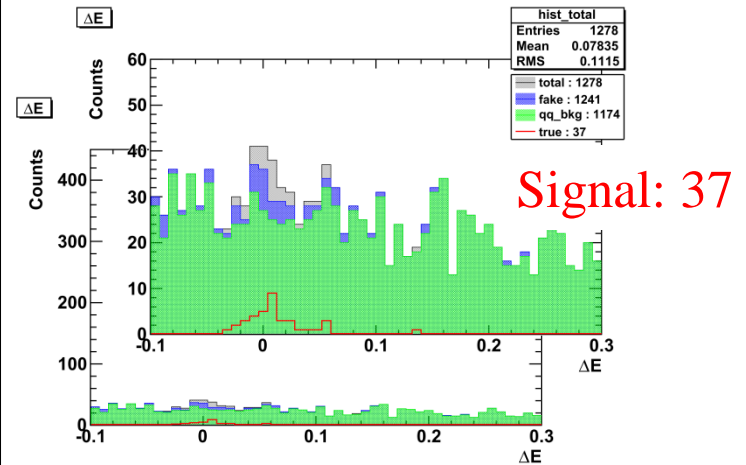
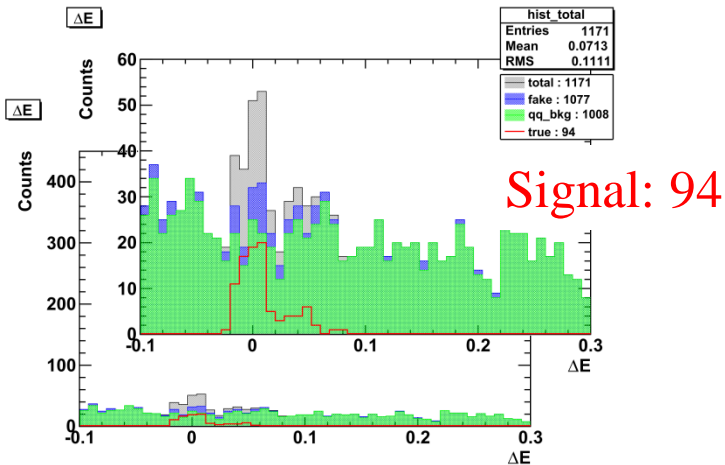
Opposite mode

Same mode

$B \rightarrow D\pi$

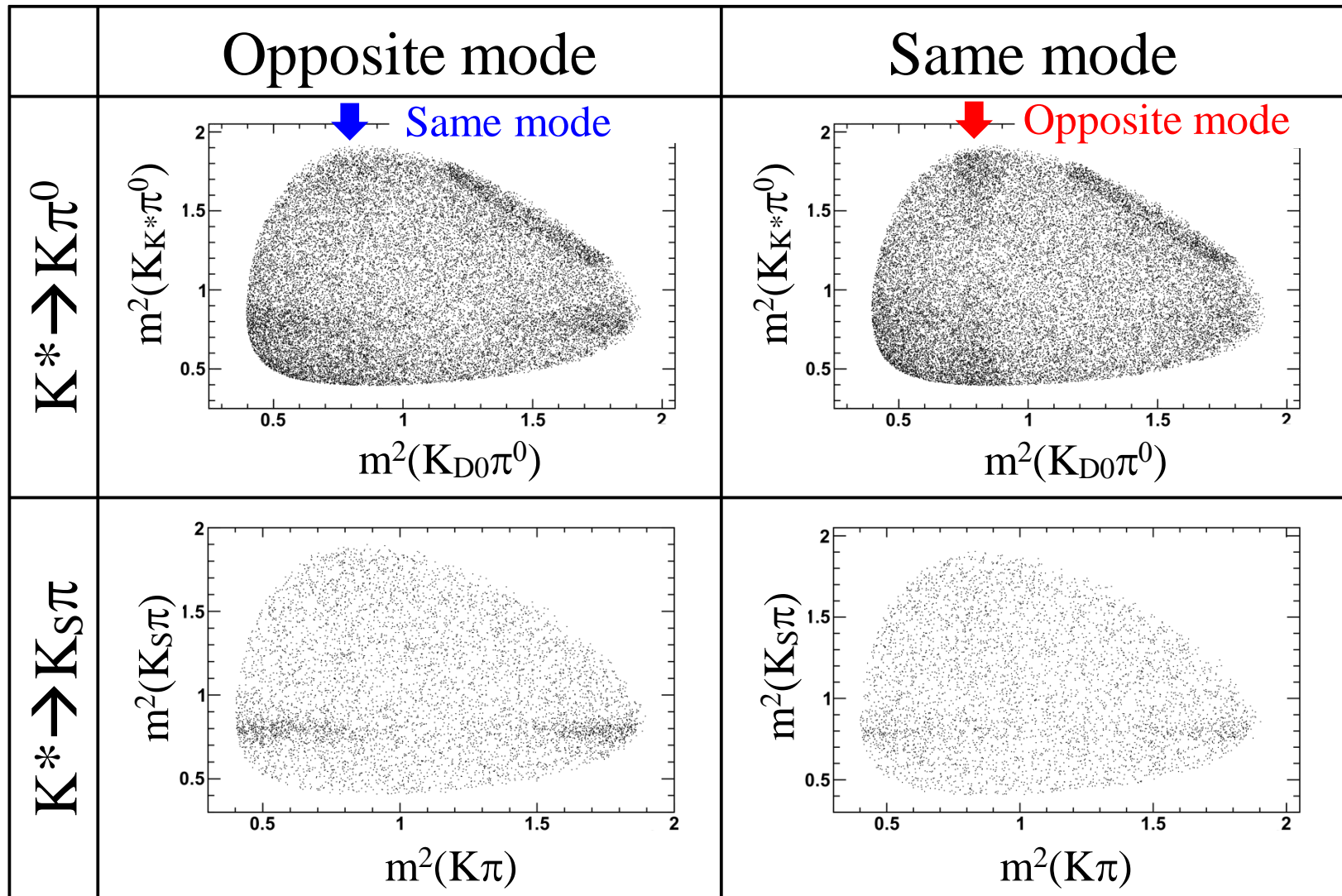


$B \rightarrow DK$



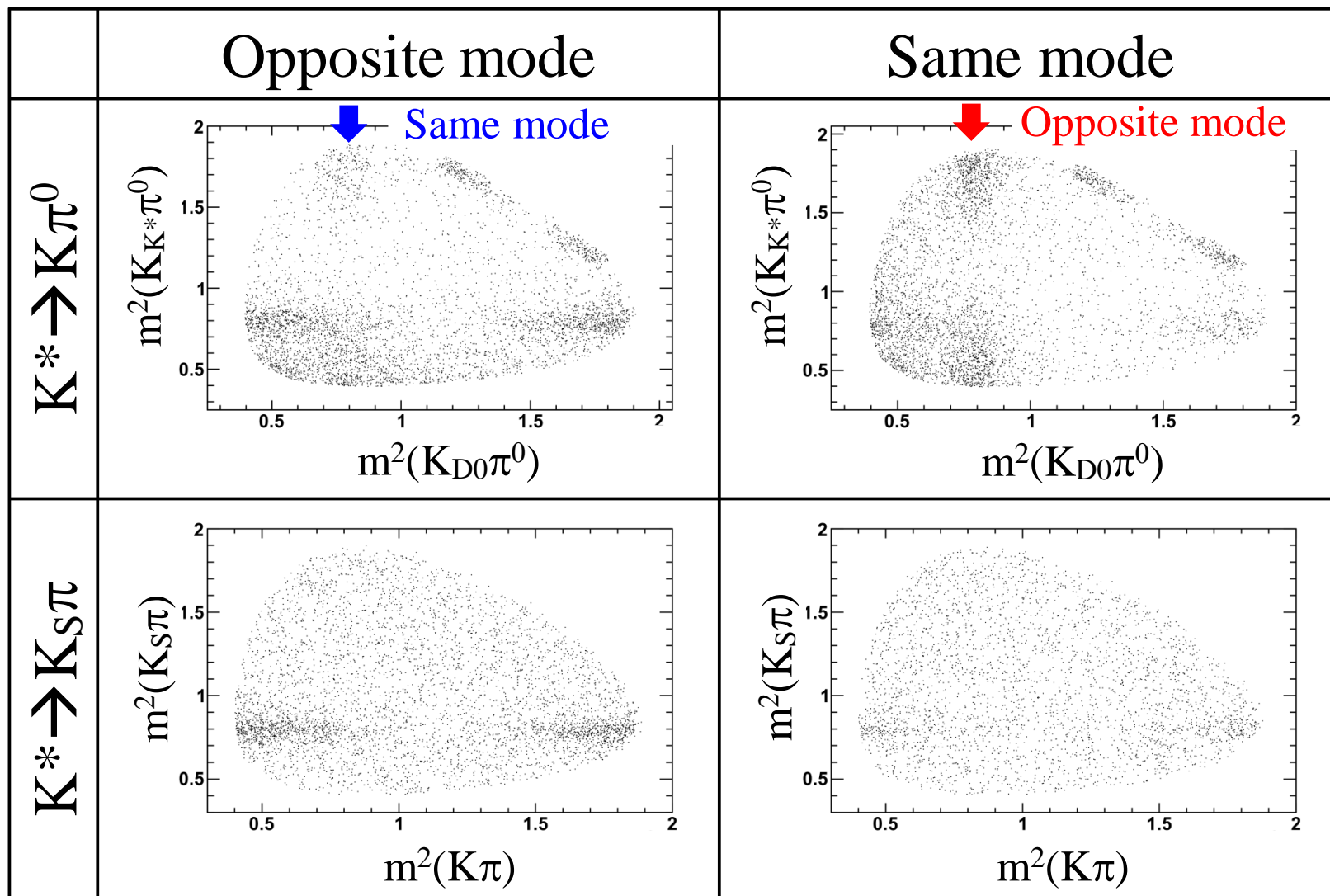
各モードのDalitz Plot ($B\bar{B}+q\bar{q}$)

$B \rightarrow D\pi$, MC($BB+qq$), 実際のデータの2倍のサイズ



各モードのDalitz Plot ($B\bar{B}$)

$B \rightarrow D\pi$, MC(BB), 実際のデータの2倍のサイズ



各モードのDalitz Plot ($q\bar{q}$)

$B \rightarrow D\pi$, MC(qq), 実際のデータの2倍のサイズ

